



РАСЧЕТЫ СВОБОДНОЙ ЭНЕРГИИ ВЗАИМОДЕЙСТВИЯ ШИРОКОСПЕЦИФИЧНОЙ ПИРИМИДИННУКЛЕОЗИДФОСФОРИЛАЗЫ С ПОТЕНЦИАЛЬНЫМИ ИНГИБИТОРАМИ

© 2022 г. П. А. Эйстрих-Геллер*, #, С. В. Рубинский*, В. Р. Самыгина*, **, А. А. Лашков*

*Институт кристаллографии им. А. В. Шубникова ФНИЦ “Кристаллография и фотоника” РАН,
Россия, 119333 Москва, Ленинский проспект, 59

**Национальный исследовательский центр “Курчатовский институт”,
Россия, 123182 Москва, ул. Академика Курчатова, 1

Поступила в редакцию 26.01.2022 г.

После доработки 09.03.2022 г.

Принята к публикации 17.06.2022 г.

Цель работы – поиск специфичного ингибитора пиридиннуклеозидфосфорилазы. Использовали методы молекулярного моделирования комплексов белок–лиганд, такие как молекулярный докинг и молекулярная динамика, позволяющие найти энергию связывания белка с лигандом (ΔG_{bind}). В качестве возможных ингибиторов взяты следующие соединения: 2',3'-дидегидро-3'-дезокситимидин (d4T), 1-(2-дезокси-2-фтор- β -D-арабинофуранозил)-5-иодурацил (фиауридин, FIAU), 1-(2-дезокси-2-фтор- β -D-арабинофуранозил)-5-урацил (FAU) и 2-пиридин-2-ил-1*H*-имидазол-4-карбоновая кислота (PIA). Предварительную оценку энергии связывания проводили методом линейной интерполяции свободной энергии (LIE), уточнение расчетов – методом возмущения свободной энергии (FEP) в пакете программ GROMACS. Полученные в ходе расчетов данные указывают на то, что соединения PIA и d4T связываются с активным центром белка *BsPyNP* из *Bacillus subtilis* с наибольшей аффинностью среди других предполагаемых ингибиторов. PIA к тому же хуже связывается с тимидинфосфорилазой человека, что минимизирует возможные побочные эффекты применения этого соединения в терапевтических целях.

Ключевые слова: молекулярный докинг, пиридиннуклеозидфосфорилаза, метод возмущения свободной энергии

DOI: 10.31857/S0132342322060100

ВВЕДЕНИЕ

Нуклеозидфосфорилазы (в частности, тимидинспецифичная нуклеозидфосфорилаза КФ 2.4.2.4.) – белки-ферменты, играющие важную роль в синтезе нуклеозидов и азотистых оснований [1]. Нуклеозидфосфорилазы катализируют фосфоролитическое расщепление пуриновых и пиридиновых нуклеозидов. Некоторые белки этого класса обнаружены во многих раковых клетках, что позволяет использовать их в качестве ак-

тиваторов противоопухолевых препаратов [2, 3]. У некоторых классов прокариот присутствует широкоспецифичная пиридиннуклеозидфосфорилаза (*PyNP*), способствующая расщеплению как тимидина, так и уридина примерно с равной катализической активностью. При этом тимидинфосфорилаза и широкоспецифичная пиридиннуклеозидфосфорилаза – единственные представители NP-II-семейства нуклеозидфосфорилаз. Показано, что инфицирование клеток

Сокращения: AD – Autodock; *BsPyNP* – пиридиннуклеозидфосфорилаза из *Bacillus subtilis*; d4T – 2',3'-дидегидро-3'-дезокситимидин; FAU – 1-(2-дезокси-2-фтор- β -D-арабинофуранозил)-5-урацил, FEP – возмущение свободной энергии; FIAU – фиауридин (1-(2-дезокси-2-фтор- β -D-арабинофуранозил)-5-иодурацил); ΔG_{bind} – энергия связывания белка с лигандом; ΔG^{coul} – свободная энергия coupling кулоновского взаимодействия; ΔG^{vdw} – свободная энергия coupling ван-дер-ваальсового взаимодействия, определяемого как потенциал Ленарда–Джонса; $\Delta\Delta G_{DSF}$ – поправка на использование дискретной модели растворителя, учитывающая конечные размеры ячеек; $\Delta\Delta G_{NET}$ – поправка на влияние периодичности на взаимодействие бесконечного числа копий точечного заряда; ΔG^{rest} – свободная энергия рестрейной; ΔG_{RIP} – поправка на остаточные интегрированные потенциальные эффекты; $\Delta\Delta G_{USV}$ – поправка на недостаточную сольватацию, вызванную периодичностью; hTP – тимидиннуклеозидфосфорилаза человека; LIE – линейная интерполяция свободной энергии; *MhPyNP* – пиридиннуклеозидфосфорилаза из *Mycoplasma hyorhinis*; PIA – 2-пиридин-2-ил-1*H*-имидазол-4-карбоновая кислота; PL – PLANTS; PME – метод частица–сетка; PyNP – пиридиннуклеозидфосфорилаза; RMSD – среднее квадратическое отклонение; TI – термодинамическое интегрирование; МД – молекулярная динамика.

Автор для связи: (тел.: +7 (916) 875-27-80; эл. адрес: eistrikh.geller@crys.ras.ru).

некоторых тканей бактериями *Mycoplasma hyorhinis* препятствует нормальной фармокинетике фторпиrimидинов. Это объясняется активностью фермента PyNP в этих бактериях в отношении 5-фтор-2'-дезоксиуридина, 5-трифторимидина и 5-фтор-5'-дезоксиуридина [1, 2]. Препятствование ферментативной функции PyNP из *M. hyorhinis* [4] при фторпиrimидиновой терапии обуславливает необходимость разработки конкурентных ингибиторов, специфичных к *BsPyNP* (пиrimидиннуклеозидфосфорилаза из *Bacillus subtilis*) и неактивных в отношении *hTP* (тимидиннуклеозидфосфорилаза человека) [3].

Цель данного исследования — поиск предполагаемых ингибиторов тимидинфосфорилазы и широкоспецифичной пиrimидиннуклеозидфосфорилазы и их сравнение по энергии связывания с белком-мишенью.

РЕЗУЛЬТАТЫ И ОБСУЖДЕНИЕ

Молекулярный докинг и молекулярная динамика.

В качестве стартовой трехмерной модели белка взята определенная нами ранее методом рентгеноструктурного анализа структура пиrimидиннуклеозидфосфорилазы из *Bacillus subtilis* (*BsPyNP*) [5, 6], гомологичной пиrimидиннуклеозидфосфорилазе из *M. hyorhinis*. Для поиска соединений, аффинных активному центру *BsPyNP*, среди сущес-

твующих биологически активных соединений, удовлетворяющих правилам “пяти” Липински [7], были отобраны четыре соединения. Первые два взяты из работы [8]: 2',3'-дидегидро-3'-дезоксиимидин (d4T) и 1-(2-дезокси-2-фтор- β -D-арабинофуранозил)-5-иодурацил (фиауридин, FIAU) (рис. 1). Поскольку в молекуле FIAU заместителем в пятом положении пиrimидинового цикла является атом иода, который может создать дополнительные стерические ограничения при связывании вероятного ингибитора с активным центром фермента, было решено взять в качестве третьего лиганда то же соединение, но без заместителя — атома иода — 1-(2-дезокси-2-фтор- β -D-арабинофуранозил)-5-урацил (FAU). Моделирование связывания двух схожих молекул, но с разными по размеру заместителями по пиrimидиновому кольцу, позволяет выяснить степень влияния атома иода на связывание лиганда с белком.

В работе [9] описано соединение 2-пиrimидин-2-ил-1*H*-имидазол-4-карбоновая кислота (PIA) (рис. 1) — предполагаемый специфичный ингибитор *BsPyNP*, для которого в этой работе был проведен первый этап молекулярного докинга. Однако это соединение при разных значениях pH раствора присутствует в разных формах с разным общим электрическим зарядом: в растворах с нейтральной реакцией среды — в виде в целом не заряженного цвиттер-иона, а при кислой — в

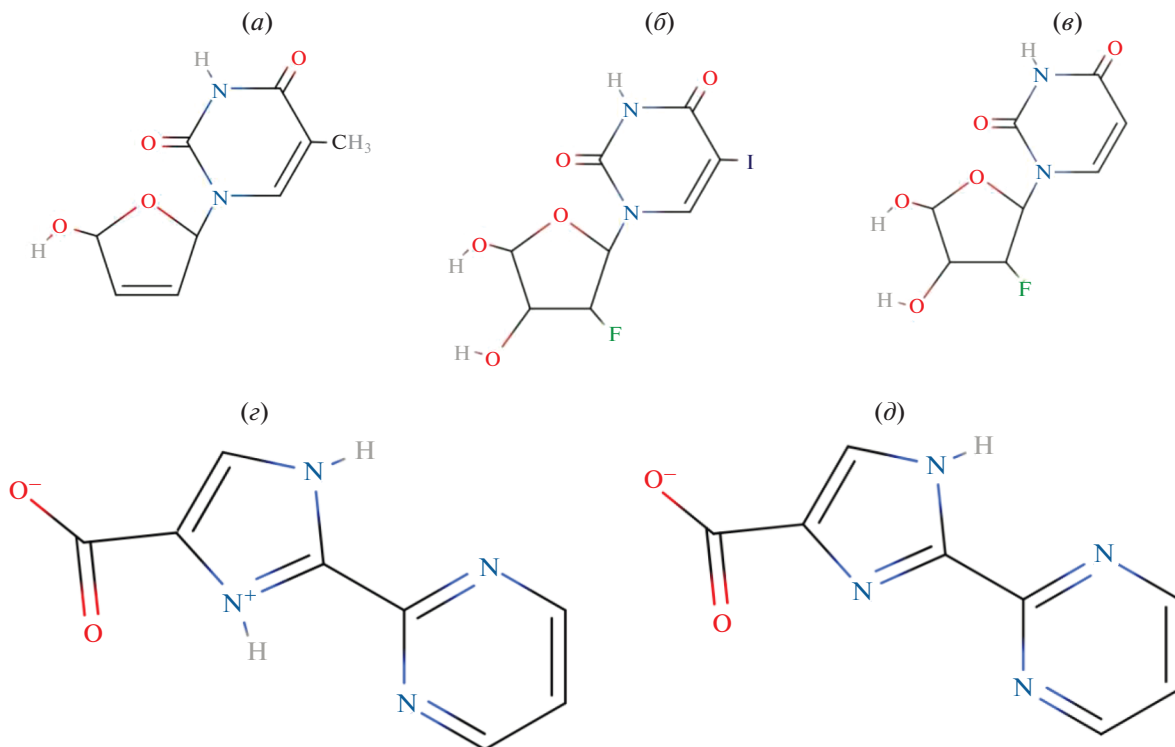


Рис. 1. Структурные формулы предполагаемых лигандов (ингибиторов) пиrimидиннуклеозидфосфорилазы из *Bacillus subtilis* (*BsPyNP*): d4T (a), FIAU (b), FAU (c), PIA (d) при pH < 6.5, PIA (d) при pH > 6.5.

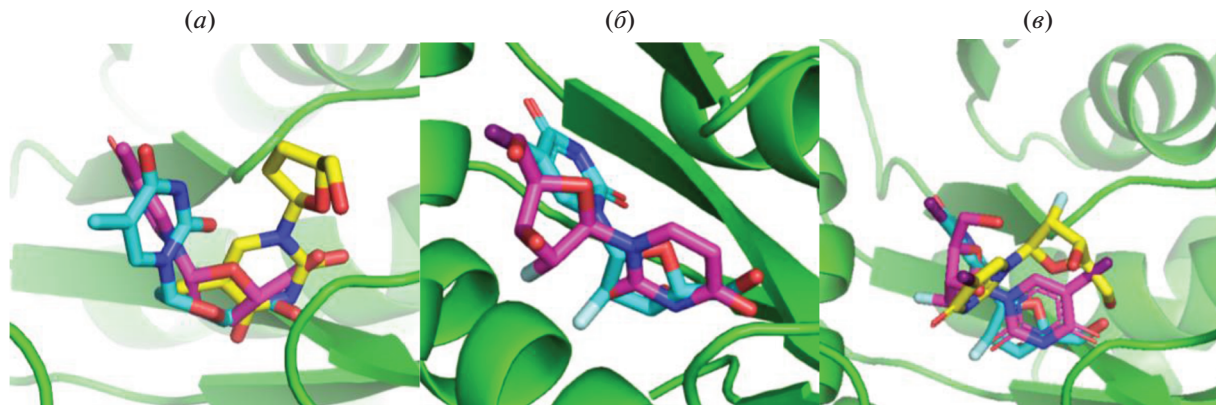


Рис. 2. Центровая конформация для каждого кластера отобранных конформаций лигандов для d4T (а), FIAU (б) и FAU (в).

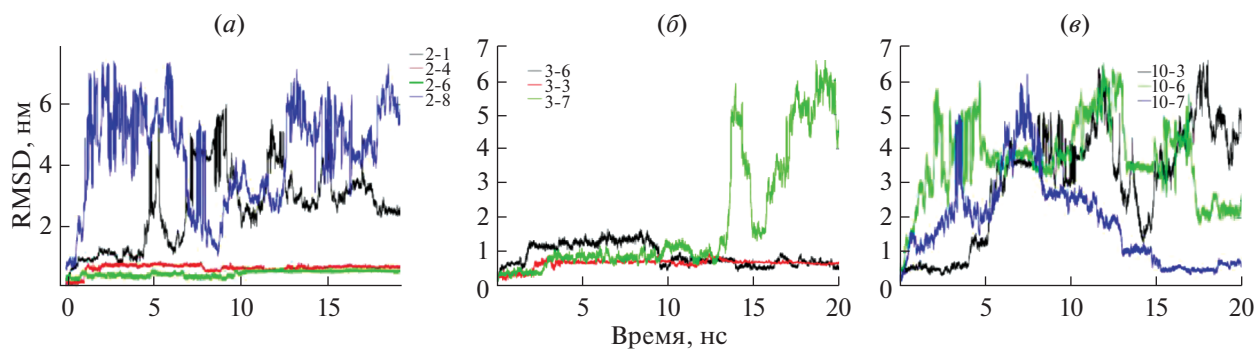


Рис. 3. Графики зависимости RMSD-координат неводородных атомов лигандов от времени МД-симуляции для d4T (а), FIAU (б) и FAU (в) для разных стартовых конформаций лигандов. Выравнивание структур выполнено по атомам главной цепи фермента *BsPyNP*.

виде аниона. Различие общего заряда и состояния протонирования лиганда может кардинальным образом повлиять на его связывание с ферментом.

Результатом первого этапа стал набор конформаций для каждого лиганда. Разница в решениях докинга, полученных с помощью разных программ (Autodock и PLANTS), объясняется разницей в методике определения подходящих конформаций. Близкие друг к другу конформации объединены в кластеры по сходству расположения атомов и углов между связями атомов в конформере. Для d4T найден 1 кластер конформаций, для FIAU – 3 кластера (2 (Autodock) + 1 (PLANTS)), для FAU – два кластера (1 + 1) (рис. 2). Для каждой из конформаций был проведен анализ энергии взаимодействия и устойчивости комплекса (рис. 3) в зависимости от времени молекулярно-динамической симуляции частиц системы и получены, кроме стартовой, конформации с минимальной энергией взаимодействия по методу линейной интерполяции свободной энергии (LIE). Проведено сравнение конформаций лиган-

дов с конформациями похожих лигандов в структурах экспериментально определенных комплексов тимидинфосфорилаз. По трехмерной структуре тимидин- и пиримидинфосфорилазы схожи, однако для последней не изучены структуры комплексов белок–лиганд.

Таким образом, в работе рассмотрены две конформации: start – начальный вариант после молекулярного докинга, min – варианты с наименьшей энергией связывания белок–лиганд, вычисленной по методу LIE. Для лигандов d4T, FAU и FIAU была подобрана одна конформация со стартовым и одна – с минимальным значением энергии связывания по методу LIE (табл. 1).

Для конформаций PIA, полученных в программах Autodock и PLANTS при pH < 6.5, были найдены два минимума энергии с близкими значениями энергии связывания (табл. 1), но сильно отличающимися положениями атомов, поэтому дальнейшие расчеты проводили для двух конформаций: min₁ и min₂. Аналогичная ситуация характерна для конформаций PIA, полученных с помо-

Таблица 1. Результаты расчета относительной аффинности связывания (кДж/моль) лигандов *BsPyNP* методом LIE

Составляющая свободной энергии Гиббса	FAU (AD)	d4T (AD)	d4T (PL)	FIAU (AD)	PIA (AD) (pH < 6.5)	PIA (PL) (pH < 6.5)	PIA (AD) (pH > 7.0)	PIA (PL) (pH > 7.0)
$\langle \Delta G_{\text{bind}} \rangle$	-3.2	-5.8	0.1	7.2	13.2	-15.3	-46.5	-56.9
$\sigma(\Delta G_{\text{bind}})$	15.2	18.4	11.1	9.6	15.5	16.7	22.4	21.9
$\Delta G_{\text{bind_start}}$	18.9	22.1	-4.8	10.9	-2.6	-10.0	-50.5	-55.9
$\Delta G_{\text{bind_min1}}$	-95.7	-55.7	-50.5	-38.4	-79.1	-87.0	-136.1	-140.0
$\Delta G_{\text{bind_min2}}$	-	-	-	-	-73.6	-80.6	-	-138.1

Примечание: выбраны лучшие решения для программы докинга: AD – Autodock, PL – PLANTS.

Таблица 2. Свободная энергия (и ее составляющие) связывания *BsPyNP* с производными пиримидиновых нуклеозидов (кДж/моль)

Составляющая свободной энергии Гиббса	d4T _{min}	d4T _{start}	d4T _{min_PL}	FIAU	FAU
$\Delta G^{\text{solv_coul}}$	-85.8 ± 0.5		-79.5 ± 0.5	-84.1 ± 0.5	-86.3 ± 0.5
$\Delta G^{\text{solv_vdw}}$	-0.6 ± 0.3		-0.2 ± 0.4	-7.1 ± 0.4	-4.8 ± 0.4
$\Delta G^{\text{solv(vdw + coul)}}$	-86.4 ± 0.6		-79.7 ± 0.6	-91.2 ± 0.6	-91.1 ± 0.6
$\Delta G^{\text{solv_rest}}$	-33.7	-35.7	-38.0	-34.3	-33.7
$\Delta G^{\text{prot_restr}}$	-9.6 ± 0.2	-18.4 ± 0.2	-26.7 ± 0.4	-13.9 ± 0.2	-24.0 ± 0.5
$\Delta G^{\text{prot_coul}}$	-86.1 ± 0.7	-72.0 ± 0.4	-103.5 ± 1.3	-77.0 ± 0.6	-66.2 ± 0.5
$\Delta G^{\text{prot_vdw}}$	-34.7 ± 0.6	-10.8 ± 0.9	-12.7 ± 0.8	-18.6 ± 0.8	-20.8 ± 0.8
ΔG^{prot}	-130.3 ± 1.0	-101.2 ± 1.0	-143.0 ± 1.6	-109.5 ± 1.0	-111.1 ± 1.0
ΔG_{bind}	-10.2 ± 1.2	20.9 ± 1.2	-25.3 ± 1.7	16.0 ± 1.2	13.7 ± 1.7

Примечание: полужирным выделена общая энергия связывания.

щью программы PLANTS при pH 7.0. Для них также найдены два минимума со схожими значениями энергий (табл. 1), и для дальнейшей обработки отобраны три конформации (стартовая и две минимальные).

Молекулярная динамика и расчеты методом возмущения свободной энергии (FEP). Полученные величины ΔG_{bind} представлены в табл. 2–5. Для всех конформаций лигандов с $\Delta G_{\text{bind}} > 0$ вероятность связывания низкая. Это связано с тем, что при большом значении энергии Гиббса реакция связывания лиганда с активным центром белка не спонтанная. Константа ингибиции в этом случае имеет слишком высокие значения, такие, что концентрация лиганда не является достижимой.

Молекулярное моделирование комплекса белок–лиганд FIAU. Присоединение лиганда осуществляется с помощью трех водородных связей между атомами O1 и O2 лиганда и атомом водорода остатка Gly85, между атомом O2 лиганда и атомом N остатка Phe207 (рис. 4). Величина $\Delta G_{\text{bind}} = -16.0$ кДж/моль (табл. 2) говорит об очень низкой аффинности связывания данного лиганда с активным центром белка.

Молекулярное моделирование для комплекса белок–лиганд d4T. Для d4T в конформации с минимальной энергией взаимодействия $\Delta G_{\text{bind}} = -10.2$ кДж/моль ($K_i = 1.4$ мкМ) при $T = 300$ К (табл. 2). Отрицательное значение свободной энергии связывания говорит о возможности связывания

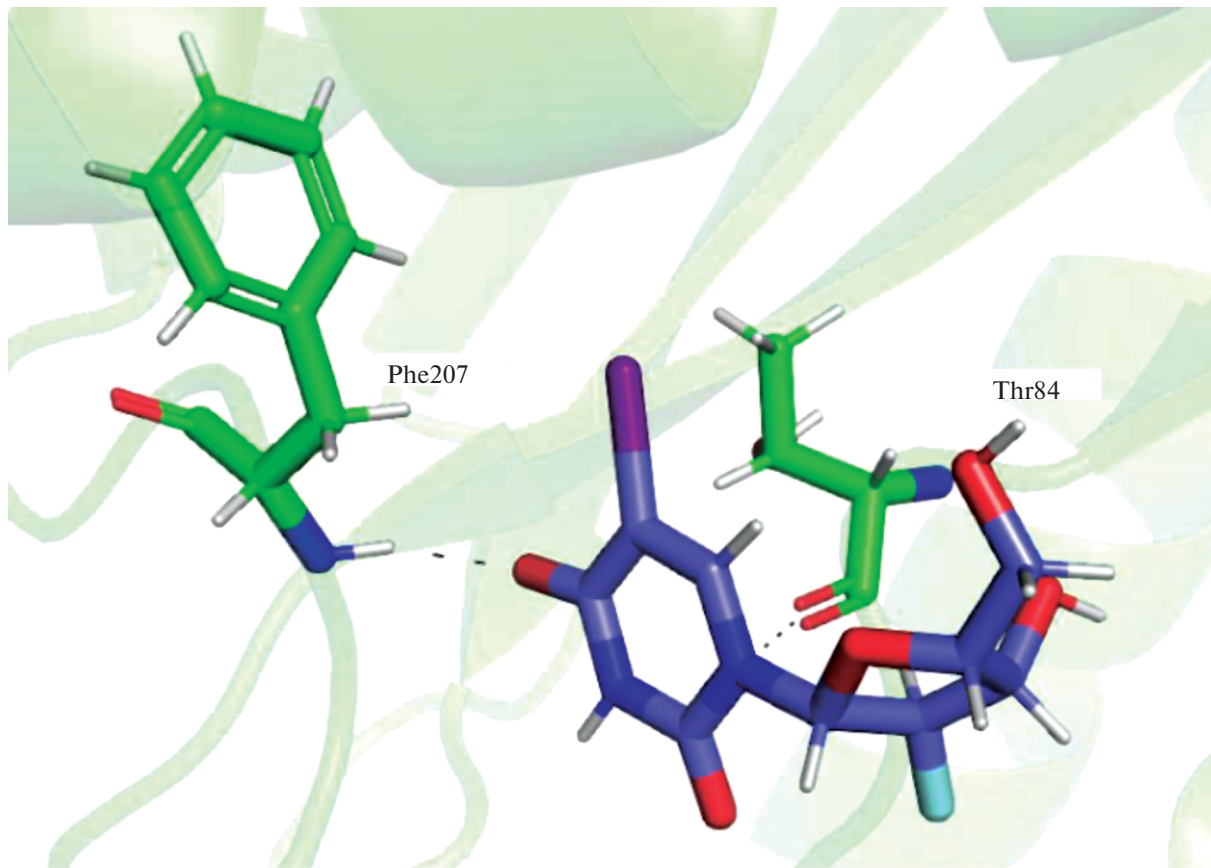


Рис. 4. FIAU в активном центре *BsPyNP*.

лиганда d4T с активным центром *BsPyNP*, т.е. d4T – потенциальный ингибитор. В связи с этим проверили специфичность соединения, сравнив комплекс белок–лиганд для *BsPyNP* и для *hTP*, соответствующим катализатором ресинтеза азотистых оснований в теле человека. Для этой цели было проведено выравнивание аминокислотной последовательности *BsPyNP* и *hTP* (рис. 5). Выявлены аминокислотные остатки активного центра *hTP*, отличающиеся от соответствующих остатков *BsPyNP*. Далее был проведен анализ связывания d4T с активными центрами двух ферментов, d4T образует водородные связи с атомами аминокислотных остатков *BsPyNP*: атомы кислорода d4T связываются с атомами водорода Ser183 (2.2 Å), Val174 (2.1 Å), Arg168 (2.1, 1.9 и 1.7 Å) и Asp161 (1.8 Å) (рис. 6а). В то же время d4T образует связи в активном центре *hTP* с аминокислотными остатками Arg171 (3 Å), Ser186 (2.7 и 3.5 Å) и Lys109 (2.9 Å) (рис. 6б). Один из остатков – Arg168 (рис. 6а) и этот же остаток под номером Arg171 (рис. 6б) – встречается в обоих случаях.

Молекулярное моделирование комплекса белок–лиганд РIA. Молекула РIA была исследована в двух вариантах протонирования: в форме карбокси-

аниона (нейтральные значения pH) и цвиттер-иона (кислая среда).

При $\text{pH} < 6.5 \Delta G_{\text{bind}} = -6.2 \text{ кДж/моль}$ для конформации min_2 , что лучше с точки зрения энергии связывания с белком, чем стартовая конформация, полученная в результате молекулярного докинга, и конформация min_1 (табл. 3). Однако это значение намного превышает значение ΔG_{bind} для конформации анионной формы РIA. Для нее проведено моделирование не только с нативной *BsPyNP*, но и с *BsPyNP* с мутациями в активном центре, соответствующими активному центру *hTP*, для сравнения активности РIA в бактериальной клетке и клетках человека. Это сделано не только для определения различий в аффинности связывания лиганда, но и для выявления конкретных остатков активного центра *BsPyNP*, обусловливающих различие. При $\text{pH} > 6.5 \Delta G_{\text{bind}} = -65.5 \text{ кДж/моль}$ для конформации min_1 , что говорит о высокой аффинности связывания РIA с активным центром в этой конформации (табл. 4).

Водородные связи образуются между молекулой предполагаемого ингибитора – РIA – и остатками Lys108, His82, Lys188 и Ser110 белка

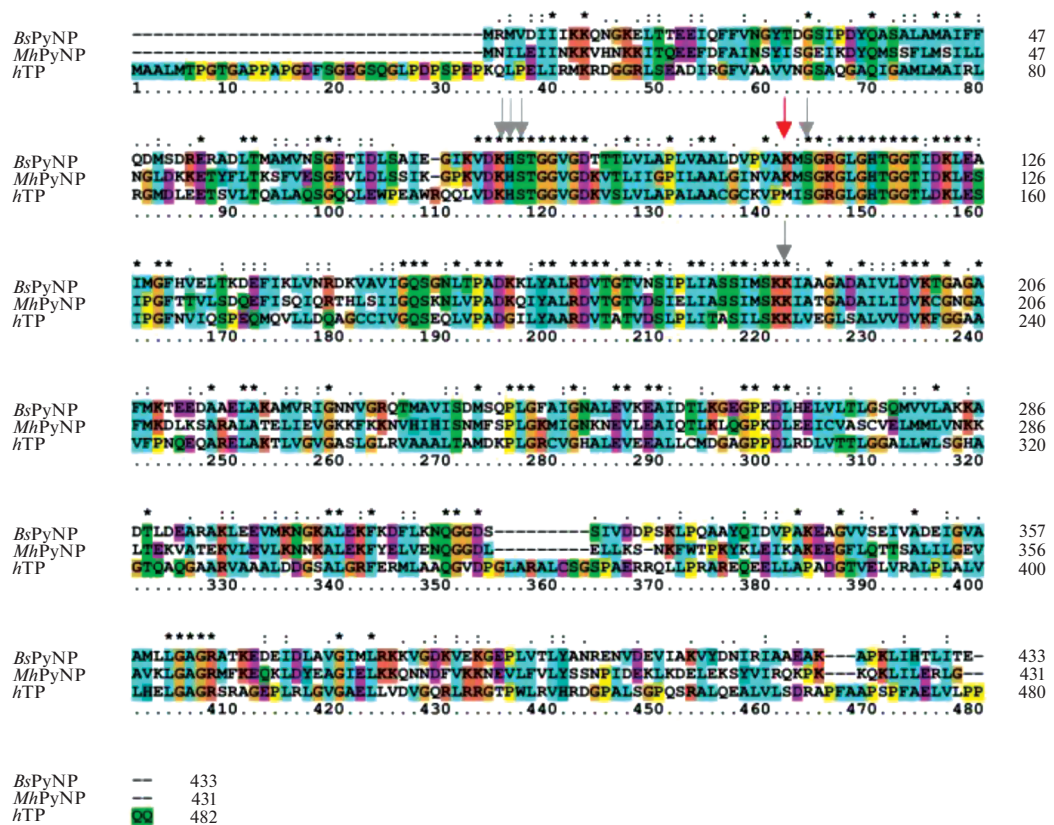


Рис. 5. Выравнивание аминокислотных последовательностей пиримидиннуклеозидфосфорилазы из *Bacillus subtilis* (BsPyNP), пиримидиннуклеозидфосфорилазы из *Mycoplasma hyorhinis* (MhPyNP) и тимидиннуклеозидфосфорилазы человека (hTP). Цвета обозначают степень совпадения аминокислотных остатков, точки обозначают локации полных совпадений, стрелками обозначены аминокислотные остатки, образующие активный центр.

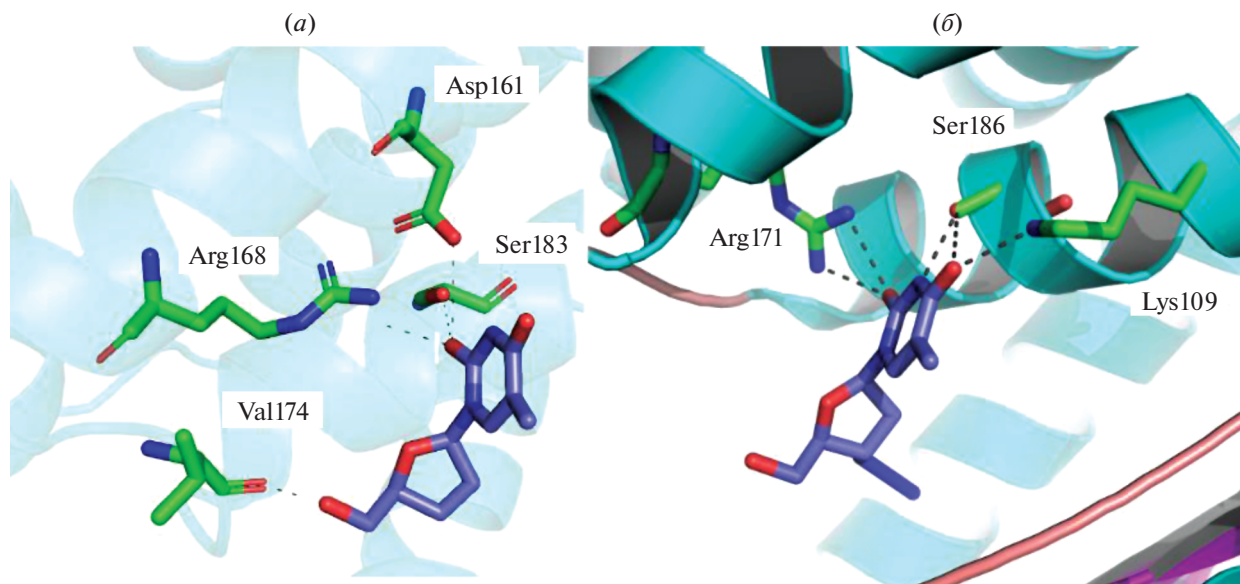


Рис. 6. (a) – Взаимодействие лиганда d4T с белком BsPyNP; (б) – взаимодействие d4T с hTP.

Таблица 3. Свободная энергия (и ее составляющие) связывания *BsPyNP* с различными конформациями цвиттерионной формы РІА (кДж/моль) при pH < 6.5

Составляющая свободной энергии Гиббса	AD _{start}	AD _{min1}	AD _{min2}	PL _{start}	PL _{min1}	PL _{min2}
$\Delta G^{\text{solv_coul}}$				-248.2 ± 0.4		
$\Delta G^{\text{solv_vdw}}$				2.3 ± 0.2		
$\Delta G^{\text{solv(vdw + coul)}}$				-245.9 ± 0.4		
$\Delta G^{\text{solv_rest}}$	-30.0	-31.2	-30.1	-30.1	-30.4	-30.1
$\Delta G^{\text{prot_restr}}$	-15.7 ± 0.3	-8.1 ± 0.1	-3.7 ± 0.0	-52.8 ± 1.4	-8.8 ± 0.2	-10.7 ± 0.2
$\Delta G^{\text{prot_coul}}$	-265.7 ± 1.4	-269.5 ± 0.8	-283.9 ± 1.0	-246.6 ± 1.4	-259.5 ± 1.5	-280.4 ± 0.9
$\Delta G^{\text{prot_vdw}}$	18.3 ± 0.9	-1.4 ± 0.7	2.8 ± 0.6	-0.1 ± 0.6	-6.9 ± 0.5	8.8 ± 0.6
ΔG^{prot}	-263.1 ± 1.7	-279.0 ± 1.1	-284.8 ± 1.1	-299.3 ± 2.0	-275.2 ± 1.6	-282.2 ± 1.1
ΔG_{bind}	12.8 ± 1.7	-1.9 ± 1.2	-8.8 ± 1.2	-23.3	1.1 ± 1.6	-6.2 ± 1.2

Примечание: полужирным выделена общая энергия связывания.

Таблица 4. Свободная энергия (и ее составляющие) связывания *BsPyNP* с различными конформациями анионной формы РІА при pH > 6.5 (кДж/моль)

Составляющая свободной энергии Гиббса	AD _{start}	AD _{min}	PL _{start}	PL _{min1}	PLANTS _{min2}
$\Delta G^{\text{solv_coul}}$			-522.1 ± 0.6		
$\Delta G^{\text{solv_vdw}}$			2.7 ± 0.2		
$\Delta G^{\text{solv(vdw+coul)}}$			-519.3 ± 0.7		
$\Delta\Delta G^{\text{DSF_solv}}$			-0.3		
$\Delta\Delta G^{\text{NET}} + \Delta\Delta G^{\text{USV}}$			0.7		
$\Delta\Delta G^{\text{RIP_solv}}$			~ 0.0		
$\Delta G^{\text{solv_rest}}$	-31.7	-30.2	-29.6	-32.2	-31.7
$\Delta G^{\text{prot_restr}}$	-39.0 ± 0.3	-4.1 ± 0.0	-28.2 ± 0.4	-3.4 ± 0.0	-7.1 ± 0.0
$\Delta G^{\text{prot_coul}}$	-554.5 ± 2.4	-569.2 ± 2.7	-553.7 ± 2.6	-613.3 ± 2.6	-597.1 ± 2.5
$\Delta G^{\text{prot_vdw}}$	16.3 ± 0.6	13.3 ± 0.8	14.2 ± 0.7	4.2 ± 0.7	36.3 ± 0.8
$\Delta G^{\text{prot(vdw+coul+restr)}}$	-577.2 ± 2.5	-560.0 ± 2.9	-567.6 ± 2.7	-612.5 ± 2.7	-567.9 ± 2.6
$\Delta\Delta G^{\text{DSF}}$	-4.2	-4.4	-4.4	-4.4	-4.6
$\Delta\Delta G^{\text{NET}} + \Delta\Delta G^{\text{USV}}$			0.3		
$\Delta\Delta G^{\text{RIP}}$	0.6	0.3	0.2	0.0	0.0
ΔG_{bind}	-29.9 ± 2.6	-14.7 ± 3.0	-23.0 ± 2.7	-65.5 ± 2.7	-21.6 ± 2.7

Примечание: полужирным выделена общая энергия связывания.

BsPyNP (рис. 7). Различные найденные конформации РІА отличаются в основном положением карбоксильной группы, которая связывается во-

дородными связями с Lys108 и His82. Эти аминокислотные остатки было решено заменить на соответствующие остатки *hTP* и провести расчет

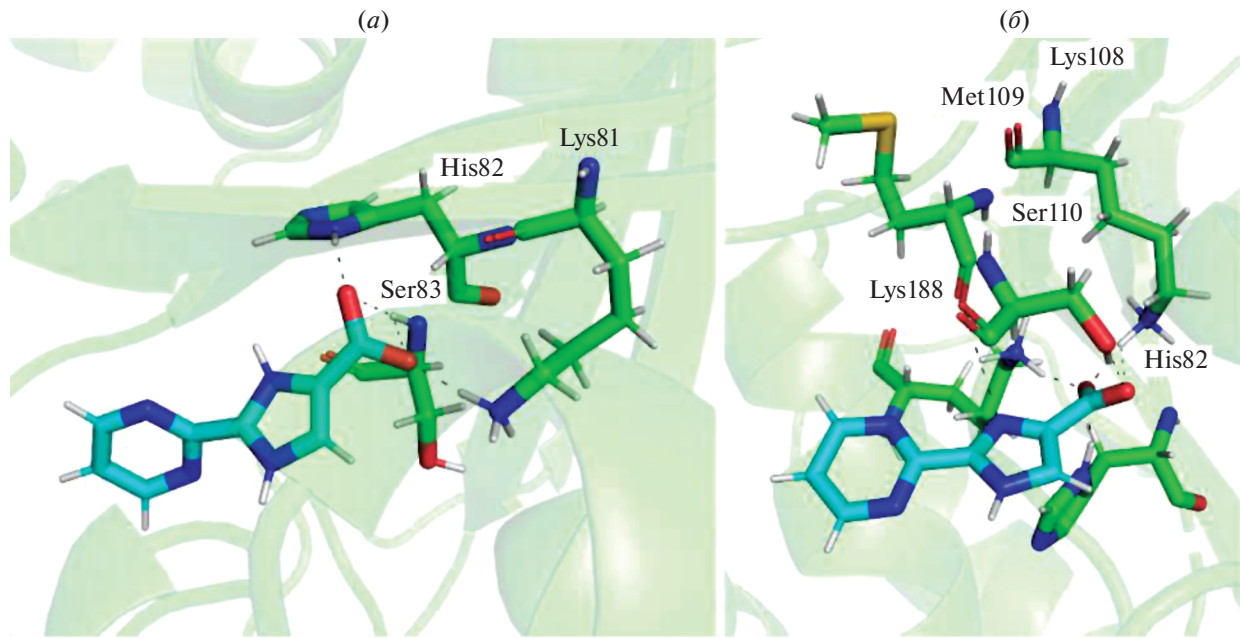


Рис. 7. Молекула PIA в активном центре белка *BsPyNP* при pH < 6.5 (а) и pH > 6.5 (б).

свободной энергии методом возмущения свободной энергии (FEP).

Созданы структурные модели двух мутантов: с заменой остатка Lys108 на Trp108 и с заменой остатка His82 на Gly82. В результате для получившихся моделей ΔG_{bind} варьируется от -25.1 до 4.4 кДж/моль (табл. 5), что существенно меньше по модулю энергии для лиганда в активном центре нативной *BsPyNP* при pH > 6.5.

После замены аминокислотных остатков в активном центре белка остатки, образующие водородные связи с лигандом, изменились (рис. 8). Водородные связи образуются между карбоксильной группой лиганда и атомами кислорода для Thr108 (2.9 Å), Lys188 (3.4 и 3.0 Å) и Ser110 (2.6 Å). Также образуется водородная связь между карбоксильной группой и атомом азота в случае Lys188 (3.1 Å). В целом наблюдаются большие расстояния между атомами при связывании PIA с

Таблица 5. Свободная энергия (и ее составляющие) связывания мутантной (K108M) *BsPyNP* с различными конформациями цвиттер-ионной (при pH < 6.5) и анионной (при pH > 6.5) формы PIA (кДж/моль)

pH	pH < 6.5		pH > 6.5	
Конформация	start	min	start	min
$\Delta G^{\text{solv_rest}}$	-31.8	-33.1	-31.3	-31.1
$\Delta G^{\text{prot_restr}}$	-32.4 ± 0.6	-7.2 ± 0.1	-11.3 ± 0.1	-14.0 ± 0.2
$\Delta G^{\text{prot_coul}}$	-251.0 ± 1.0	-277.8 ± 0.9	-537.4 ± 2.4	-554.4 ± 2.4
$\Delta G^{\text{prot_vdw}}$	-6.3 ± 0.7	8.5 ± 0.6	6.3 ± 0.8	-2.7 ± 0.8
$\Delta G^{\text{prot(vdw + coul + restr)}}$	-293.5 ± 1.3	-276.5 ± 1.1	-542.5 ± 2.5	-571.1 ± 2.5
$\Delta\Delta G^{\text{DSF}}$	—	—	-4.4	-4.4
$\Delta\Delta G^{\text{NET}} + \Delta\Delta G^{\text{USV}}$	—	—	0.3	0.3
$\Delta\Delta G^{\text{RIP}}$	—	—	0.8	0.1
ΔG_{bind}	-15.8 ± 1.4	2.5 ± 1.2	4.4 ± 2.6	-25.1 ± 2.6

Примечание: полужирным выделена общая энергия связывания. Составляющие энергии сольватации лиганда показаны в табл. 3 и 4.

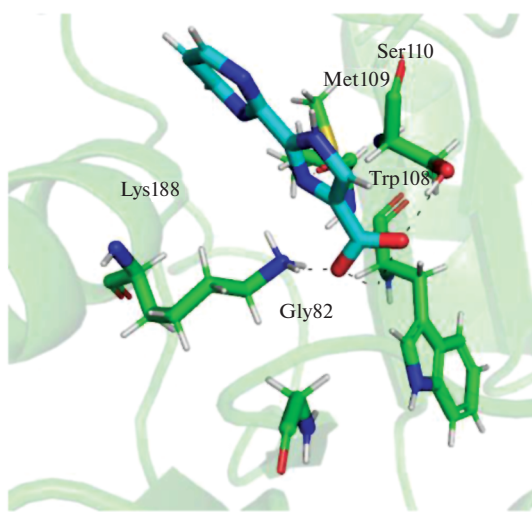


Рис. 8. Молекула PIA в активном центре белка *BsPyNP* с замененными аминокислотными остатками, имитирующими активный центр *hTP*.

мутантными формами PyNP, что подтверждается меньшей по модулю ΔG_{bind} .

ЭКСПЕРИМЕНТАЛЬНАЯ ЧАСТЬ

Молекулярный докинг. В качестве исходной структуры для молекулярного докинга была использована структура белка *BsPyNP*, полученная в ходе рентгеноструктурного анализа [5]. Для получения наиболее полного набора конфигураций использовали программы молекулярного докинга Autodock [10] и PLANTS [11], работающие с разными алгоритмами поиска глобального минимума: Autodock использует алгоритм Монте–Карло [12], а PLANTS – алгоритм оптимизации подражания муравьиной колонии [13]. В обеих программах для параметризации атомов использовали полуэмпирическое силовое поле AMBER. В качестве активной области докинга был выбран куб с ребром 22 Å, в который были включены все атомы аминокислотных остатков активного центра белка *BsPyNP*. Шаг сетки докинга составлял 0.375 Å. Аминокислотные остатки считались неподвижными. В ходе докинга было отобрано по 10 конформаций для каждого лиганда с самыми высокими значениями оценочных функций, используемых по умолчанию в каждой из программ. Конформации объединены в кластеры по параметру среднеквадратичного отклонения координат атомов лиганда (рис. 2).

Молекулярное моделирование методом классической молекулярной динамики. Для исследования устойчивости связывания лигандов с PyNP проводили молекулярно-динамическое (МД) моделирование этого комплекса в пакете программ

GROMACS (версия 2018.6) [13, 14]. Компоновку и параметризацию МД-систем комплексов белок–лиганд проводили в web-сервисе CHARMM-GUI [13–15] с использованием набора полноатомных силовых полей CHARMM [16, 17] версии C36m [15]. Модельные ячейки заполняли молекулами воды, которые описывались трехцентровой моделью TIP3P, с добавлением нейтрализующих ионов Na^+ и Cl^- с концентрацией 0.1 М.

Для интегрирования с шагом 2 фс уравнений движения Ньютона использовали алгоритм “leapfrog”. Длина траектории молекулярной динамики составляла 20 нс. Расчет дальних электростатических взаимодействий проводили методом частица–сетка (PME) [18, 19]. Для описания ван-дер-ваальсовых взаимодействий использовали функцию сглаживания “force–switch” в интервале 10–12 Å. Давление в системе контролировали баростатом Паринелло–Рахмана [19] на уровне 1 бар. Температуру МД-системы поддерживали постоянной с помощью термостата V-rescale [20] на уровне 300 К. Процедуре молекулярной динамики предшествовал этап минимизации энергии системы с использованием выбранного силового поля в виртуальной ячейке методом градиентного спуска и уравновешивание системы путем моделирования с ограничениями, накладываемыми на положения неводородных атомов белка и лиганда в NVT- и NPT-ансамблях в течение 200 пс (использовали баростат Берендсена).

Определение относительной аффинности связывания лигандов методом линейной интерполяции свободной энергии (LIE). Приблизительную оценку аффинности связывания лигандов методом LIE [21] осуществляли в программе gmx lie программного пакета GROMACS (версия 2018.6) [13, 14]. Метод использовали как для оценки энергии связывания лиганда в конформациях, полученных на этапе молекулярного докинга, так и для поиска дополнительных конформаций лиганда с помощью молекулярно-динамической симуляции. Для этого предварительно рассчитывались средние энергии силового поля ван-дер-ваальсовых и электростатических взаимодействий лигандов с водой в течение 20 нс.

Для расчета потенциальной энергии кулоновского взаимодействия лиганда с окружением траектории МД-симуляции белок–лиганд перерабатывали с использованием метода обобщенного поля реакции (Generalized RF) при отсечке 12 Å. Эмпирические константы α и β , определяющие вклад ван-дер-ваальсовых и электростатических взаимодействий в оценку энергии связывания лигандов, выбраны в соответствии со статьей [22]. Коэффициент сдвига γ был принят равным нулю в связи с невозможностью его подбора на данном

этапе исследования. Коэффициент γ – дополнительный, он зависит от особенностей модели и гидрофобности активного центра и требуется для согласования данных LIE с экспериментальными данными.

Расчет свободной энергии связывания лиганда с ферментом BsPyNP методом возмущения свободной энергии (FEP). Расчет свободной энергии связывания лигандов с белком BsPyNP проводили, используя термодинамический цикл, описанный Aldeghi et al. [23]. Первый этап заключался в сборе отсчетов производной гамильтониана системы по параметру связи Кирквуда (λ -параметр, [24]) (для метода термодинамического интегрирования (TI) и разницы в потенциальной энергии системы между текущим состоянием и остальными (для методов на основе FEP)).

Для систем белок–лиганд и белок–вода проводили МД-симуляцию в NPT-ансамбле в течение 2.4 нс, используя алгоритм интегрирования “leapfrog” уравнений стохастической динамики для каждого набора λ -параметров. С целью удержания лиганда в области связывания при уменьшении силы взаимодействия с белком вводили дополнительные межмолекулярные ограничения – ориентационные рестрейны [23], используя программу PyFEPRestr [25]. Для системы белок–лиганд параметр связи λ менялись последовательно для λ_{restr} (0, 0.010, 0.025, 0.050, 0.075, 0.100, 0.200, 0.350, 0.500, 0.750, 1.000) и λ_{coul} (0, 0.25, 0.50, 0.75, 1.00); λ_{vdw} (0, 0.05, 0.10, 0.20, 0.30, 0.40, 0.50, 0.60, 0.65, 0.70, 0.75, 0.80, 0.85, 0.90, 0.95, 1.00). В случае системы лиганд–вода параметры связи менялись лишь для кулоновских и ван-дер-ваальсовых взаимодействий лиганда с водой. Необходимую для вычисления свободной энергии связывания (ΔG_{bind}) поправку на энергию введенных ограничений для системы лиганд–вода ($\Delta G^{\text{solv_rest}}$) считали аналитически по формуле, приведенной в работе [26]. Ван-дер-ваальсовые взаимодействия рассчитывали, используя потенциал “мягкого ядра” (soft core) Леннарда–Джонса. Для учета как дальних кулоновских, так и ван-дер-ваальсовых взаимодействий использовали метод частица–сетка (PME) [27].

До проведения МД-симуляций в дополнение к общему уравновешиванию системы при каждом значении параметра связи λ проводили процедуры оптимизации геометрии и уравновешивания системы в NVT- и NPT-ансамблях в течение 100 пс.

Обработку данных МД-симуляций при разных параметрах связи Кирквуда осуществляли в написанной в среде Jupyter Notebook программе, с использованием библиотек *alchemlyb* и *rumbar*. Первый шаг – извлечение разницы редуцирован-

ных потенциалов (ΔU_{ij}) – выполняли с использованием библиотеки *alchemlyb*. Затем проводили отбор нескорелированных отсчетов ΔU_{ij} и отсечение неуравновешенной части траекторий с использованием функции *detectEquilibration* библиотеки *rumbar* [28]. В качестве входного параметра для расчета статистической неэффективности использовали значения ΔU_{ij} между МД-симуляциями с соседними λ . На третьем шаге статистически независимые отсчеты ΔU_{ij} обрабатывали с использованием метода множественного отношения вероятности принятия шага Беннетта (MBAR) [29]. Корректность расчетов контролировали по матрице перекрытия между λ -состояниями, а также сравнением полученных значений ΔG со значениями, полученными другими методами: EXP (метод экспоненциального усреднения) [28], BAR (метод отношения вероятности принятия шага Беннетта) [29] и TI (метод термодинамического интегрирования).

Поскольку суммарный заряд атомов РIA при $\text{pH} > 6.5$ равен $-1e$, необходимо было в этом случае вычислить поправки на суммирование по Эвальду и периодические граничные условия, их рассчитывали с использованием аналитической схемы [30]. Заряд белка был полностью нейтрализован противоионами, эффективный $Q_p = 0.1/4\pi\epsilon_0$ полагался равным 138.93545585 кДж нм e^{-2} моль $^{-1}$, ϵ_s для TIP3P воды – 82, $\rho_{300K} = 997 \text{ кг/м}^3$, $\gamma_s = 0.0764 \text{ е нм}^2$. Остаточные интегральные потенциалы (RIP) молекулы белка и лиганда рассчитывали с использованием программы APBS [24].

Свободную энергию связывания белок–лиганд (ΔG_{bind}) рассчитывали по формуле:

$$\Delta G_{\text{bind}} = \Delta G^{\text{prot}} - \Delta G^{\text{solv}},$$

$$\Delta G^x = \Delta G^{\text{coul}} + \Delta G^{\text{vdw}} + \Delta G^{\text{rest}},$$

где ΔG^{coul} – свободная энергия кулоновского взаимодействия; ΔG^{vdw} – свободная энергия ван-дер-ваальсового взаимодействия, определяемого как потенциал Леннарда–Джонса; ΔG^{rest} – свободная энергия рестрейнов (в случае системы лиганд–растворитель рассчитывается аналитически по формуле, описанной в работе [26]).

В случае заряженного лиганда как к ΔG^{prot} , так и ΔG^{solv} добавляются соответствующие поправки: $\Delta\Delta G_{\text{DSF}}$ – часть поправки, связанной с использованием явной (дискретной) модели растворителя, учитывающая конечные размеры ячейки моделирования; $\Delta\Delta G_{\text{NET}}$ – поправка на влияние периодических граничных условий на кулоновское взаимодействие бесконечного количества периодических копий точечного заряда, $\Delta\Delta G_{\text{USV}}$ – поправка на влияние эффекта неполной сольвации;

$\Delta\Delta G_{RIP}$ – поправка на влияние остаточного интегрированного потенциала. Часть поправки, связанной с использованием явной (дискретной) модели растворителя, для случая системы бесконечного объема ячейки моделирования (DSI) не включена в выходные данные, т.к. ее значение (-74.11 кДж/моль) одинаково для всех рассматриваемых в статье систем белок–лиганд и лиганд–рассвоторитель и обнуляется при расчете ΔG_{bind} [24, 30, 31].

ЗАКЛЮЧЕНИЕ

В ходе работы был проведен поиск специфично-го ингибитора пиримидиннуклеозидфосфорилазы. В качестве возможных лигандов были изучены 2',3'-дидегидро-3'-дезокситимидин (d4T), 1-(2-дезокси-2-фтор- β -D-арабинофуранозил)-5-иодурацил (фиауридин, FIAU), 1-(2-дезокси-2-фтор- β -D-арабинофуранозил)-5-урацил (FAU) и 2-пири-мидин-2-ил-1H-имидазол-4-карбоновая кислота (PIA) с помощью методов молекулярного моделирования комплексов белок–лиганд, таких как молекулярный докинг и молекулярная динамика, позволяющие найти энергию связывания белка с лигандом (ΔG_{bind}) с использованием методов LIE и FEP. По данным моделирования, а именно по величине свободной энергии связывания белок–лиганд, можно сделать вывод о том, что лиганды d4T и PIA – потенциальные ингибиторы бактериальных широкоспецифичных пиримидиннуклео-зидфосфорилаз, т.к. их связывание с активным центром энергетически выгодно.

В настоящее время соединение d4T выпускается под названием Ставудин (ОАО Фармсинтез, Россия) и применяется для лечения ВИЧ [32, 33]. Возможный ингибитор PIA не проходил клинические исследования. Клинические исследова-ния для лиганда FAU не проводились, а для ли-ганды FIAU в ходе эксперимента была обнаруже-на высокая токсичность [34].

Полученные в ходе расчетов результаты указы-вают на то, что оба соединения – PIA и d4T – свя-зываются с активным центром *BsPyNP* с наи-большей аффинностью среди других предполага-емых субстратов. Причем при моделировании связывания PIA в средах с различным pH энергия принимает более высокие значения по модулю, чем при нейтральном pH. Это, вероятно, объяс-няется образованием шести водородных связей с 3 а.о. белка при $\text{pH} > 6.5$, в отличие от пяти водо-родных связей при $\text{pH} < 6.5$ в случае PIA. Допол-нительная водородная связь образуется с Lys108. Особенную роль здесь играет значение pH, т.к. в бактериальных клетках значения pH приближе-ны к 7, т.е. химические реакции проходят в ней-тральной среде. Следствием специфического свя-

зываания белка *BsPyNP* с выбранными соедине-ниями может стать снижение скорости процессов ресинтеза азотистых оснований, что, в свою оче-редь, может привести к гибели бактериальных клеток.

В ходе расчетов свободной энергии связыва-ния для комплекса белок–лиганд с замененными аминокислотными остатками в активном центре, имитирующими активный центр тимидинфос-форилазы человека, было обнаружено: PIA хуже связывается с hTPR чем с *BsPyNP*, это минимизи-рует возможные побочные эффекты применения этого соединения в терапевтических целях.

БЛАГОДАРНОСТИ

Работа выполнена с использованием инфраструк-туры Центра коллективного пользования “Высоко-производительные вычисления и большие данные” (ЦКП “Информатика”) ФИЦ ИУ РАН (г. Москва). Положение о ЦКП “Информатика”: <http://www.frccsc.ru/ckp>.

ФОНДОВАЯ ПОДДЕРЖКА

Работа выполнена при финансовой поддержке Российского фонда фундаментальных исследований (проект № 19-29-12054) в части расчетов методом воз-мущения свободной энергии, при поддержке Мини-стерства науки и высшего образования в рамках вы-полнения работ по государственному заданию ФНИЦ “Кристаллография и фотоника” РАН (в части модели-рования методами молекулярного докинга и молеку-лярной динамики).

СОБЛЮДЕНИЕ ЭТИЧЕСКИХ СТАНДАРТОВ

Настоящая статья не содержит описания каких-ли-бо исследований с участием людей и использованием животных в качестве объектов.

КОНФЛИКТ ИНТЕРЕСОВ

Авторы заявляют об отсутствии конфликта инте-ресов.

СПИСОК ЛИТЕРАТУРЫ

1. Friedkin M., Roberts D. // J. Biol. Chem. 1954. V. 207. P. 245–256.
2. Liekens S., Bronckaers A., Balzarini J. // Lancet Oncol. 2009. V. 10. P. 628–635.
[https://doi.org/10.1016/s1470-2045\(09\)70037-3](https://doi.org/10.1016/s1470-2045(09)70037-3)
3. Bronckaers A., Balzarini J., Liekens S. // Biochem. Pharmacol. 2008. V. 76. P. 188–197.
<https://doi.org/10.1016/j.bcp.2008.04.019>

4. *Vande Voorde J., Gago F., Vrancken K., Liekens S., Balzarini J.* // Biochem. J. 2012. V. 445. P. 113–123.
<https://doi.org/10.1042/bj20112225>
5. *Balaev V.V., Prokofev I.I., Gabdulkhakov A.G., Betzel C., Lashkov A.A.* // Acta Crystallogr. Sect. F Struct. Biol. Cryst. Commun. 2018. V. 74. P. 193–197.
<https://doi.org/10.1107/s2053230x18002935>
6. *Van Rompay A.R., Johansson M., Karlsson A.* // Pharmacol. Ther. 2003. V. 100. P. 119–139.
<https://doi.org/10.1016/j.pharmthera.2003.07.001>
7. *Lipinski C.A., Lombardo F., Dominy B.W., Feeney P.J.* // Adv. Drug Deliv. Rev. 2001. V. 46. P. 3–26.
[https://doi.org/10.1016/s0169-409x\(00\)00129-0](https://doi.org/10.1016/s0169-409x(00)00129-0)
8. *Balaev V.V., Lashkov A.A., Prokofev I.I., Gabdulkhakov A.G., Seregina T.A., Mironov A.S., Betzel C., Mikhailov A.M.* // Crystallogr. Rep. 2016. V. 61. P. 830–841.
<https://doi.org/10.1134/S1063774516050023>
9. *Korb O., Stützle T., Exner T.E.* // Swarm Intell. 2007. V. 1. P. 115–134.
<https://doi.org/10.1007/s11721-007-0006-9>
10. *Goodsell D.S., Olson A.J.* // Proteins. 1990. V. 8. P. 195–202.
<https://doi.org/10.1002/prot.340080302>
11. *Korb O., Stützle T., Exner T.E.* // J. Chem. Inf. Model. 2009. V. 49. P. 84–96.
<https://doi.org/10.1021/ci800298z>
12. *Metropolis N., Ulam S.* // J. Am. Stat. Assoc. 1949. V. 44. P. 335–341.
<https://doi.org/10.1080/01621459.1949.10483310>
13. *Dorigo M., Maniezzo V., Colorni A.* // IEEE Trans. Syst. Man Cybern. B Cybern. 1996. V. 26. P. 29–41.
<https://doi.org/10.1109/3477.484436>
14. *Van Der Spoel D., Lindahl E., Hess B., Groenhof G., Mark A.E., Berendsen H.J.C.* // J. Comput. Chem. 2005. V. 26. P. 1701–1718.
<https://doi.org/10.1002/jcc.20291>
15. *Jo S., Kim T., Iyer V.G., Im W.* // J. Comput. Chem. 2008. V. 29. P. 1859–1865.
<https://doi.org/10.1002/jcc.20945>
16. *MacKerell A.D., Bashford D., Bellott M., Dunbrack R.L., Evanseck J.D., Field M.J., Fischer S., Gao J., Guo H., Ha S., Joseph-McCarthy D., Kuchnir L., Kuczera K., Lau F.T., Mattos C., Michnick S., Ngo T., Nguyen D.T., Prodhom B., Reiher W.E., Roux B., Schlenkrich M., Smith J.C., Stote R., Straub J., Watanabe M., Wiórkiwicz-Kuczera J., Yin D., Karplus M.* // J. Phys. Chem. B. 1998. V. 102. P. 3586–3616.
<https://doi.org/10.1021/jp973084f>
17. *Huang J., Rauscher S., Nawrocki G., Ran T., Feig M., de Groot B.L., Grubmüller H., MacKerell A.D., Jr.* // Nat. Methods. 2017. V. 14. P. 71–73.
<https://doi.org/10.1038/nmeth.4067>
18. *Petersen H.G.* // J. Chem. Physics. 1995. V. 103. P. 3668–3679.
<https://doi.org/10.1063/1.470043>
19. *Parrinello M., Rahman A.* // J. Appl. Physics. 1981. V. 52. P. 7182–7190.
<https://doi.org/10.1063/1.328693>
20. *Bussi G., Parrinello M.* // Computer Physics Comm. 2008. V. 179. P. 26–29.
<https://doi.org/10.1016/j.cpc.2008.01.006>
21. *Hansson T., Marelius J., Åqvist J.* // J. Comput. Aided Mol. Des. 1998. V. 12. P. 27–35.
<https://doi.org/10.1023/a:1007930623000>
22. *Aldeghi M., Heifetz A., Bodkin M.J., Knapp S., Biggin P.C.* // Chem. Sci. 2016. V. 7. P. 207–218.
<https://doi.org/10.1039/c5sc02678d>
23. *Lashkov A.A., Tolmachev I.V., Eistrikh-Heller P.A., Rubinsky S.V.* // Crystallogr. Rep. 2021. V. 66. P. 861–865.
<https://doi.org/10.1134/S1063774521050126>
24. *Rocklin G.J., Mobley D.L., Dill K.A., Hünenberger P.H.* // J. Chem. Phys. 2013. V. 139. P. 184103.
<https://doi.org/10.1063/1.4826261>
25. *Boresch S., Tettinger F., Leitgeb M., Karplus M.* // J. Phys. Chem. B. 2003. V. 107. P. 9535–9551.
<https://doi.org/10.1021/jp0217839>
26. *Wennberg C.L., Murtola T., Páll S., Abraham M.J., Hess B., Lindahl E.* // J. Chem. Theory Comput. 2015. V. 11. P. 5737–5746.
<https://doi.org/10.1021/acs.jctc.5b00726>
27. *Abraham M.J., Murtola T., Schulz R., Páll S., Smith J.C., Hess B., Lindahl E.* // SoftwareX. 2015. V. 1. P. 19–25.
<https://doi.org/10.1016/j.softx.2015.06.001>
28. *Shirts M.R., Chodera J.D.* // J. Chem. Phys. 2008. V. 129. P. 124105.
<https://doi.org/10.1063/1.2978177>
29. *Zwanzig R.W.* // J. Chem. Phys. 1954. V. 22. P. 1420–1426.
30. *Jurrus E., Engel D., Star K., Monson K., Brandi J., Felberg L.E., Brookes D.H., Wilson L., Chen J., Liles K., Chun M., Li P., Gohara D.W., Dolinsky T., Konecny R., Koes D.R., Nielsen J.E., Head-Gordon T., Geng W., Krasny R., Wei G., Holst M.J., McCammon J.A., Baker N.A.* // Protein Sci. 2018. V. 27. P. 112–128.
<https://doi.org/10.1002/pro.3280>
31. *Balaev V.V., Prokofev I.I., Gabdulkhakov A.G., Betzel C., Lashkov A.A.* // X-Ray Structure of the Complex Pyrimidine-Nucleoside Phosphorylase from *Bacillus subtilis* at 1.88 Å. Worldwide Protein Data Bank, 2018.
32. *Kandil S., Pannecouque C., Chapman F.M., Westwell A.D., McGuigan C.* // Bioorg. Med. Chem. Lett. 2019. V. 29. P. 126721.
<https://doi.org/10.1016/j.bmcl.2019.126721>
33. Institute of Medicine, Committee to Review the Fialuridine (FIAU/FIAC) Clinical Trials. Review of the Fialuridine (FIAU) Clinical Trials. National Academies Press, 1995. 280 p.
34. *Kirkwood J.G.* // J. Chem. Phys. Am. Inst. Phys. 1935. V. 3. № 5. P. 300–313.

Free Energy of Binding Calculations of Widely Specific Pyrimidine Nucleoside Phosphorylase with Suspected Inhibitors

P. A. Eistrikh-Heller*, #, S. V. Rubinsky*, V. R. Samygina*, **, and A. A. Lashkov*

#*Phone: +7 (916) 875-27-80; e-mail: eistrikh.geller@crysys.ras.ru*

**Shubnikov Institute of Crystallography of Federal Scientific Research Centre “Crystallography and Photonics”, Russian Academy of Sciences, Leninsky prosp. 56, Moscow, 119333 Russia*

***National Research Center “Kurchatov Institute”, pl. Akademika Kurchatova 1, Moscow, 123182 Russia*

The search for a specific inhibitor of pyrimidine nucleoside phosphorylase is a central objective of the work. The search was carried out using methods of molecular modeling of protein-ligand complexes: molecular docking and molecular dynamics. These methods are used to calculate the binding energy of a protein to a ligand (ΔG_{bind}). The following compounds were selected as possible inhibitors: 2',3'-didehydro-3'-deoxythymidine (d4T), 1-(2-deoxy-2-fluoro- β -D-arabinofuranosyl)-5-ioduracil (fiauridine, FIAU), 1-(2-deoxy-2-fluoro- β -D-arabinofuranosyl)-5-uracil (FAU) and 2-pyrimidin-2-yl-1*H*-imidazole-4-carboxylic acid (PIA). A preliminary estimate of the binding energy was carried out by the linear interaction energy (LIE) method, and a more accurate calculation was carried out by the free energy perturbation (FEP) method in the GROMACS software package. The data obtained during the calculations showed that the PIA and d4T compounds bind to the active site of the protein with the highest affinity among the other studied inhibitors. PIA also binds less strongly to human thymidine phosphorylase. This minimizes the possible side effects of using this compound for therapeutic purposes.

Keywords: molecular docking, pyrimidine-nucleoside phosphorylase, free energy perturbation